

اثر فسفوریلاسیون و دفسفوریلاسیون اسید امینه سرین جایگاه ۳۶۲ بر روند آندوسیتوز کanal پتاسیمی نوع ۲ قسمت خارجی مدولا کلیه

دکتر سعید حاجی هاشمی

استادیار، دکتری تخصصی فیزیولوژی، گروه فیزیولوژی، دانشگاه علوم پزشکی اراک، اراک، ایران

تاریخ دریافت ۸۷/۱۱/۵، تاریخ پذیرش ۸۸/۱/۲۶

چکیده

مقدمه: در این مطالعه اثر فسفوریله و دفسفوریله کننده اسید امینه سرین جایگاه ۳۶۲ بر روند آندوسیتوز کanal پتاسیمی نوع ۲ قسمت خارجی مدولا کلیه پس از بیان درغشاء اووسیت بررسی گردیده است.

روش کار: در این مطالعه تجربی اووسیت‌های زاینپوس لویس با استفاده از کلائزناز به روش استاندارد جدا گردیدند. روش تغییر سریع جهت ایجاد موتاسیون در انتهای، کربوکسیل کanal پتاسیمی نوع ۲ قسمت خارجی مدولا کلیه استفاده گردید. cRNA مربوط این کanal و موتاسیون های S362A و S362D ایجاد شده به اووسیت‌ها تزریق گردید. پس از ۲۵ سه روز (زمان صفر) به محیط کشت برفلدین A، مهار کننده انتقال پروتئین‌های ساخته شده به غشاء به مقدار ۰/۰۵ میکرومولار یا اثانول به عنوان حلال برفلدین A اضافه گردید. از تکنیک ثابت نگه داشتن ولتاژ دو الکترود برای اندازه گیری جریان‌های یونی و همچنین پتانسیل غشاء استفاده شد.

نتایج: اووسیت‌های که کanal‌های پتاسیمی نوع ۲ قسمت خارجی مدولا کلیه و یا موتاسیون فسفوریله کننده S362D را بیان می‌کردند در طی دوره انکوبه شدن در محلول برفلدین A کاهش معنی‌داری در میزان جریان یون پتاسیم و پتانسیل غشاء را نشان دادند. میزان کسر جریان برای کanal‌های پتاسیمی نوع ۲ قسمت خارجی مدولا کلیه و موتاسیون فسفوریله کننده پس از ۴۸ ساعت انکوبه شدن در برفلدین A برابر با $0/05 \pm 0/01$ بود که به طور معنی‌داری با کسر جریان مربوط به موتاسیون دفسفوریله کننده $0/05 \pm 0/06$ تفاوت داشت.

نتیجه گیری: اسید امینه سرین جایگاه ۳۶۲ در قسمت داخلی ناجیه PDZ با ایجاد حالت فسفوریله در آندوسیتوز و تعیین تعداد کanal‌های پتاسیمی نوع ۲ قسمت خارجی مدولا کلیه دخالت دارد.

واژگان کلیدی: کanal پتاسیمی، کanal پتاسیمی نوع ۲ قسمت خارجی مدولا کلیه، موتاسیون S362A، موتاسیون S362D، ناجیه PDZ، فسفوریلاسیون

اعمال می کند. مقدار دریافت پتاسیم بر روی فعالیت cSrc تیروزین کیناز و تیروزین فسفاتاز مربوطه تغییر ایجاد می کند که بر روی میزان آندوسیتوز شدن و یا آگزوستیوز شدن کانال های پتاسیمی تاثیر می گذارد. آندوسیتوز به دو صورت واپسیه و غیر واپسیه به کلاترین، پروتئین ها را از غشاء پلاسمایی بر می دارد^(۱۰). اطلاعات اندکی درباره چگونگی جایگزین شدن و برداشته شدن کانال ROMK از غشاها داخل و خارج سلولی (Tafficking) و مبادله شدن بین غشاها وجود دارد. زنگ و همکاران آندوسیتوز کانال ROMK از طریق وزیکول های پوشیده با کلاترین نقش اسیدهای آمینه ناحیه انتهای کربوکسیل (C-terminal) کانال های ROMK^(۱.۱) را در این روند مشخص کردند^(۶). در طول تکامل توالی اسیدهای آمینه انتهای های کربوکسیل کانال های ROMK در انسان و جوندگان حفظ شده است، محل قرار گرفتن این کانال ها در داخل غشاها را چندین الگو (Motifs) از این ناحیه تعیین می کند (شکل ۱). از جمله یک الگو (YDNPNF) که با الگوی Internalization Motif (Y/F)(D/E)MPXY طریق CCVs به داخل برده می شوند به صورت هومولوگ است^(۱۱).

مطالعه قبلی نشان داده است که موتابسیون جایگاه ۳۶۲ سبب افزایش پایداری و ثبات کانال های ROMK2 در غشاء می گردد^(۱۲). در این مطالعه چگونگی و مکانیسم این موتابسیون بر روی آندوسیتوز مورد بررسی قرار گرفته است. اسید امینه سرین در موقعیت ۳۶۲ در حالت طبیعی به صورت فسفوریله می باشد. به منظور بررسی اثر فسفوریله کننده بر روی پایداری و آندوسیتوز کانال ROMK2 هنگام بیان شدن در غشاها سلولی اووسیت ها موتابسیون های S362D و S362A ایجاد گردید. موتابسیون S362A دارای اثرات دفسفوریله کننده و موتابسیون S362D دارای اثرات فسفوریله کننده می باشد. در این تحقیق آزمایشاتی انجام

مقدمه

وظیفه کلیه ها نگهداری حجم و ترکیب یونی مایعات بدن می باشد. نفرون ها واحد های ساختمانی و عملی در کلیه ها هستند. نحوه قرار گرفتن کانال های یونی و ناقل ها در غشاها راسی و قاعده ای - جانبی نفرون ها بر روی باز جذب و ترشح مواد تاثیر می گذارد. توزیع این پروتئین ها در غشاء سلول ها به صورتی نامتقارن می باشد که با وجود آندوسیتوز مداوم به کمک تداخل با اسکلت سلولی این حالت نامتقارن حفظ می گردد^(۱، ۲). کانال پتاسیمی قسمت Renal Outer Medullary K⁻ ROMK کلیه (K⁺) در نفرون ها وظیفه ترشح یون پتاسیم (K⁺) را به عهده دارند. محل قرار گرفتن سه ایزو فورم مختلف از کانال های ROMK در غشاء راسی سلول های کلیه مشخص گردیده است^(۳). آندوسیتوز کانال های ROMK ترشح یون K⁺ در مجاری جمع کننده را تنظیم می کند^(۴-۶). روندهای آگزوستیوز و آندوسیتوز تعداد کانال های ROMK در غشاء پلاسمایی را تعیین می نماید. وانگ و همکاران نقش فعالیت cSrc کیناز (ایزو فورم PTKs) در غشاء راسی نفرون های موش صحرایی را بروی تنظیم تعداد کانال های پتاسیمی گزارش کردند. تعداد کانال های پتاسیمی با مقدار دریافت K⁺ از طریق رژیم غذایی در این حیوانات دارای رابطه ای معکوس می باشد^(۷). تعداد کانال های پتاسیمی در سلول های مجاری جمع کننده قشری موش صحرایی و کانال های ROMK1 بیان شده در غشاء اووسیت ها و همچنین سطح فعالیت cSrc کیناز توسط مهار کننده های تیروزین کیناز افزایش پیدا می کرد. استفاده از مهار گران تیروزین فسفاتاز تعداد آنها را کاهش داد. اثرات تیروزین کیناز و فسفاتاز بر روی تعداد و فعالیت این کانال های پتاسیمی توسط مهار کننده های آندوسیتوز ممانعت شد^(۴، ۵، ۶).

مقدار پتاسیم موجود در رژیم غذایی تغییر در ترشح یون های پتاسیم به درون مجاری جمع کننده را از طریق ایجاد تغییر در آندوسیتوز شدن کانال های ROMK

ROMK2 در غشا پلاسمای مشخص نماید.

گرفت تا نقش و اهمیت اثرات فسفوریله و دفسفوریله کننده اسید آمینه سرین جایگاه ۳۶۲ را در کنترل فعالیت عملی

KRGYDNPNFIL	<u>S</u> EVNETDDTKM-COOH	Human
KRGYDNPNFVL	<u>S</u> EVDETDDTQM-COOH	Rat
KRGYDNPNFVL	<u>S</u> EVDETDDTQM-COOH	Mouse

شکل ۱: اسیدهای آمینه انتهایی کربوکسیل انسان، رات و موش مورد قبول واقع شده برای درون بری بواسطه کلاترین (بر رنگ شده) را نشان می‌دهد. کازئین کیناز ۲ (با خط زیر آن مشخص شده و در توالی انسانی حضور ندارد) و اتصال PDZ (به صورت ایتالیک) نشان داده شده است. لغات پررنگ شده نشانگر توالی محل اتصال PDZ است که با توالی کازئین کیناز ۲ همپوشانی دارد. S قرمز رنگ شده به سرین در موقعیت S362A مربوط می‌شود.

سرد (LMS: Jencons Scientific Ltd) نگهداری شدند. براساس منحنی دوز-پاسخ برای غلاظت‌های مختلف مطالعه قبلی cRNA به مقدار ۱ نانو گرم در حجم نهایی ۵ نانولیتر به اووسیت‌ها تزریق گردید و به اووسیت‌های کنترل ۵۰ نانولیتر آب تزریق گردید(۱۵). جریان یونی مربوط به کانال‌های پتانسیمی با استفاده از تکنیک ثابت نگه داشتن Two Electrode Voltage Clamp (کتروود-) (TEVC) اندازه گیری گردید. گواردن و همکاران نشان داده‌اند که به دنبال تزریق cRNA به صورت آزمایشگاهی (In Vitro)، اووسیت‌ها از روی الگو cRNA تا چند برابر سطح همان نوع از پروتئین با منشاء داخلی پروتئین سازی می‌کنند. بنابراین سیگنال بزرگی که ایجاد می‌شود به طور مشخص نتیجه تزریق cRNA می‌باشد(۱۶).

یک الکتروود برای ثبت ولتاژ (الکتروود ولتاژ) و دیگری برای تزریق جریان (الکتروود جریان) بر پایه تکنیک TEVC در غشاء اووسیت وارد شد. پتانسیل غشاء به دنبال دریافت ولتاژ توسط الکتروود ولتاژی با ولتاژ مورد درخواست مقایسه می‌شود و اختلاف بین این دو مقدار با تزریق جریان به صفر می‌رسد. آزمایشات ولتاژ کلمپ با استفاده از آمپلی (Axon Instruments, Gene - Clamp 500B Foster City, CA, USA) از نرم افزار pClamp, Axon Instruments, Clampex (IBM International) version 6 بر روی یک کامپیوتر

دوش کار این مطالعه از نوع تجربی می‌باشد. حیوانات ماده و بالغ زاینوبوس لویس (Xenopus laevis) درون تانک‌های پلاستیکی محتوی آب با درجه حرارت ۱۹-۲۳ درجه سانتی گراد در شرایط ۱۲ ساعت تاریکی و ۱۲ ساعت روشنایی نگهداری می‌شدند. به منظور جدا کردن اووسیت‌ها حیوانات در محلول بیهوش کننده ترایکن متان سولفونات ۲ درصد (Tricane Methan Sulfonate) با pH برابر ۷/۸۰ قرار گرفتند. با استفاده از پروتکل استانداردی که توسط کوپر و برون ارائه شده است، اووسیت‌ها تحت شرایط آسپتیک جدا و نگهداری گردیدند(۱۳). محلول‌های استریل استفاده شدند. لوب‌های تخدمان به تکه‌های به اندازه تقریبی 1×10^5 سانتی متر بریده شدند. قطعات بریده شده درون لوله‌های کشت ۵۰ میلی لیتری محتوی محلولی فاقد کلسیم ($0 - Ca^{2+}$) ND96 منتقل گردیدند و برروی یک شیکر افقی (Rotatest R100, Luckham) قرار گرفت و شش بار هر ده دقیقه محلول آن با محلول تازه تعویض گردید. اووسیت‌ها دوبار در محلول فاقد کلسیم ($0 - Ca^{2+}$) ND96 محتوی ۲ میلی گرم در میلی لیتر کلاتراز ۱A به مدت ۲۰ دقیقه قرار داده شدند. با توجه به قطر و شکل آنها اووسیت‌های سالم در مراحل ۵ و ۶ در زیر OR3 میکروسکپ شناسایی و جدا شدند، سپس در محلول با درجه حرارت ۱۸ درجه سانتی گراد درون انکوباتور

در این حالت رابطه ولتاژ - جریان ثبت می‌گردید. پروتکل این قسمت از آزمایشات به صورتی بود که cRNA که کانال ROMK2 و یا موتاسیون مربوط را کد می‌کرد، سه روز قبل از قرار دادن در محلول برفلدین A (زمان صفر) به اووسیت‌ها تزریق می‌شد و در محیط کشت OR3 انکوبه گردید. در زمان صفر محیط کشت تعویض گردید و اووسیت‌ها به محیط کشت حاوی محلول برفلدین همان حجم از اتانول (حلال برفلدین A) منتقل گردیدند. نتایج تحقیقات قبلی نشان داده است با دوز ۲۵ میکرومولار از محلول برفلدین A میزان جریان در تمامی زمان‌ها (۳، ۶، ۱۲، ۲۴ و ۴۸ ساعت) پس از انکوبه شدن کاهش معنی‌داری پیدا می‌کند(۱۵). محلول استوک برفلدین A به صورت ۱۵ میلی مولار در اتانول به عنوان حلal تهیه گردید. برفلدین A ماده‌ای است که می‌تواند انتقال پروتئین از شبکه اندوپلاسمی به دستگاه گلزاری را مسدود نماید. بنابر این پروتئین‌های جدید ساخته شده به غشاء سلول اضافه نمی‌شود. مقدار کاهش در تعداد کانال‌های پتاسیمی نشان دهنده مقدار آندوستیوز آنها می‌باشد. در طول دوره آزمایشات محیط کشت هر روز با محیط کشت تازه تعویض گردید. در همه آزمایشات از پلاسمید pTLN-Romk2 (اهدای توسط دکتر گوردون کوپر) استفاده گردید. برای ایجاد موتاسیون در انتهای کربوکسیل کانال ROMK موش صحرایی با استفاده از روش تغییر سریع ایجاد موتاسیون زای (Site Directed Mutagenesis) در جایگاه مستقیم در PSD95/Drosophila disk large/ ZO-1 Domain گردید. در قسمت داخلی ناحیه PDZ موتاسیون‌های S362A و S362D ایجاد گردیدند. در همه موارد پلاسمید با استفاده از MLU I به صورت خطی تبدیل گردید و cRNA توسط آنزیم SP6 RNA پلیمراز تولید شد.

میزان کسر جریان با استفاده از مقدار کاهش جریان توسط ۵ میلی مولار از کلرید باریم در مقایسه با

(Business Machine به دیجیتال Digidata 1200, Axon Instruments) ثبت گردیدند. در محفظه استاندارد اووسیت‌ها RC-3Z میزان ۵ میلی لیتر از محلول در هر دقیقه برروی اووسیت‌ها سریز شد. در داخل محلول پرفیوژن کننده الکترود رفرانس متصل به زمین (Ssim Ag/AgCl_2) قرار داشت. الکترودهای ولتاژی و جریان از لوله‌های مویینه شیشه‌ای بروسیلیکات با قطر خارجی $1/5$ میلی متر و قطر داخلی 0.68 میلی متر (GC150F-15 Harvard Apparatus) با استفاده از یک میکروالکترودپولر عمودی (Microelectrode puller PP-83: Narishige, Japan) کشیده شدند. الکترودها با محلول کلرور پتانسیم ۳ مولار پر شدند و الکترودهای با مقاومت $2/5 - 5/2$ مگاهم برای ثبت‌های داخل سلولی مورد استفاده قرار گرفتند.

با زاویه 45 درجه نسبت به سطح اووسیت میکروالکترودها به آرامی به درون اووسیت‌ها وارد شدند. پیش از وارد کردن میکروالکترودها آنها با الکترود رفرنس صفر می‌شوند. اندازه گیری میزان جریان یونی هنگامی انجام می‌شود که هر دو الکترود ولتاژی و جریان، پتانسیل غشائی یکسانی را نشان دادند. پس از ثابت شدن پتانسیل غشائی آمپلی فایر از حالت Setup mode به وضعیت Voltage Clamp mode تغییر داده شد. در ابتدا پتانسل در -50 میلی ولت ثابت نگاه داشته شد، سپس ولتاژ از -120 میلی ولت تا $+100$ میلی ولت در هر مرحله به اندازه 20 میلی ولت تغییر کرد و به مدت 50 هزارم ثانیه در هر ولتاژ نگه داشته شد، در بین هر مرحله ولتاژ به -50 میلی ولت بر گردانده شد. برای هر کدام از ثبت‌ها این پروتکل ۵ بار تکرار گردید و میانگین جریان‌های ثبت شده محاسبه گردید. باریم به عنوان مهار کننده کانال‌های ROMK در مطالعات TEVC به کار برده شد. بعد از ثبت نمودن رابطه ولتاژ - جریان با محلول کنترل ND96، محلول ND96 حاوی 5 میلی مولار از کلرید باریم بر روی اووسیت‌ها جریان یافت تا این که میزان جریان کاهش یافته و در یک حالت پایدار باقی ماند.

موتاسیون S362A را بیان کرده‌اند بعد از ۴۸ ساعت انکوبه شدن در حضور برفلدین A در شکل ۲ نشان داده شده است. برای موتاسیون S362A میزان کسر جریان برابر با $۹۶\pm ۰/۰۵$ (تعداد برابر ۲۴) بود و کاهشی معنی دار در میزان جریان حساس به باریم دیده نشد (شکل ۳).

منحنی جریان- ولتاژ مربوط به یون‌های پتانسیم ثبت شده از کanal پتانسیمی ROMK2 با موتاسیون S362D که در غشاء اووسیت‌ها بیان شده بود پس از ۴۸ ساعت انکوبه شدن در محلول ۲۵ میکرو مولار برفلدین A کاهش معنی داری در میزان جریان یونی از این کanal‌های پتانسیمی را نشان داد (شکل ۲). میزان کسر جریان برای موتاسیون S362D برابر با $۰/۱۱\pm ۰/۰۵$ (تعداد برابر ۱۸) بود و کاهش معنی داری در میزان جریان حساس به باریم اندازه‌گیری گردید (شکل ۳).

با توجه به این که پتانسیل استراحت غشاء اووسیت‌ها با تعداد کanal‌های ROMK2 رابطه مستقیم دارد، در طول آزمایشات در هر دو گروه از اووسیت‌های انکوبه شده در محلول دارای برفلدین A و محلول فاقد برفلدین A پتانسیل استراحت غشاء اووسیت‌ها اندازه‌گیری گردید. نتایج نشان داد اووسیت‌های که کanal 2 ROMK2 و موتاسیون S362D را بیان می‌کردند، بعد از گذشت ۴۸ ساعت از پتانسیل استراحت غشاء را در مقایسه با اووسیت‌های که در محلول فاقد برفلدین A انکوبه گردیدند نشان دادند ولی در اووسیت‌های که موتاسیون S362A را بیان کرده‌اند پس از این زمان اختلاف معنی داری بین این دو گروه وجود نداشت و پتانسیل استراحت غشاء تحت تاثیر برفلدین A قرار نگرفتند (شکل ۴).

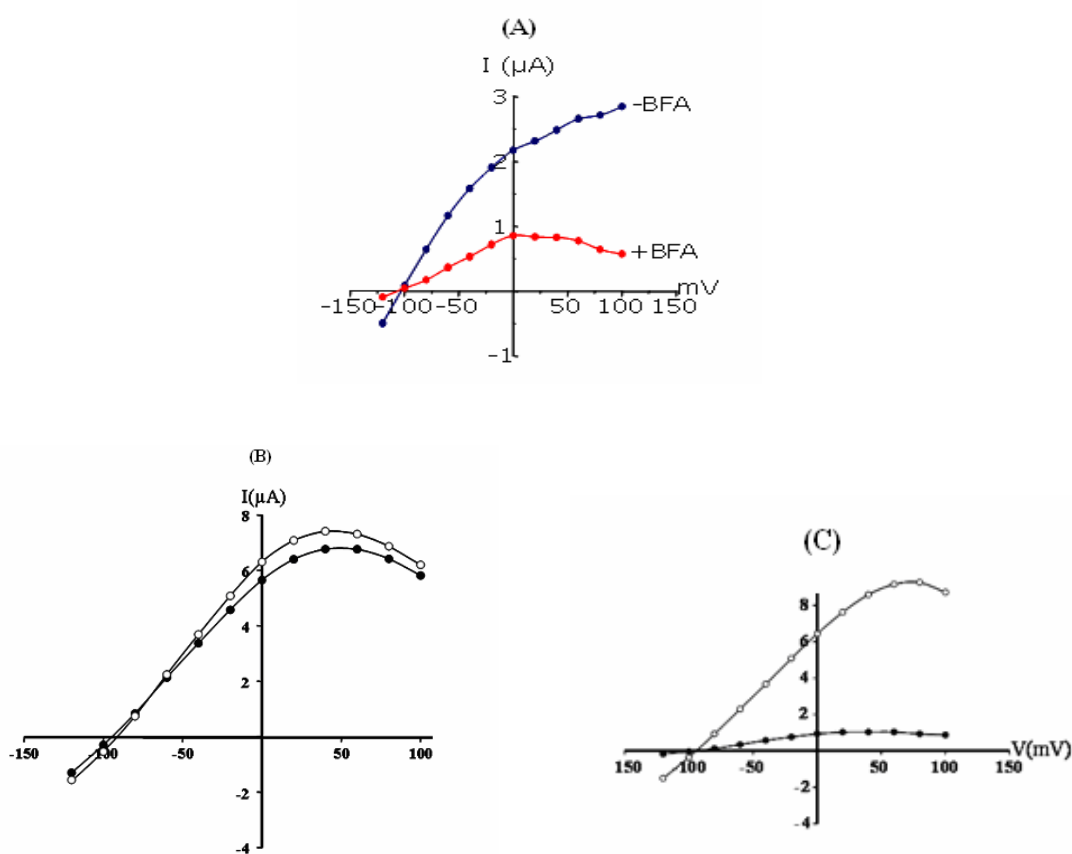
مقدار جریان در زمان صفر با استفاده از رابطه "کسر جریان $I-I_{Ba}/I_0 = I_{Ba}/I_0$ " اندازه‌گیری گردید که نشان گر کاهش مقدار جریان است. در این رابطه I مقدار جریان پس از گذشت ۴۸ ساعت انکوبه شدن در محلول برفلدین A و I_{Ba} مقدار جریان توسط باریم پس از گذشت ۴۸ ساعت انکوبه شدن در محلول برفلدین A و I_0 مقدار جریان ثبت شده در زمان صفر قبل از انکوبه شدن در محلول برفلدین A را نشان می‌دهد. این رابطه به خوبی بیانگر این است که اگر پس از گذشت ۴۸ ساعت تعداد کanal‌های پتانسیمی و در نتیجه میزان جریان در غشاء اووسیت کاهش یافته باشد مقدار کسر جریان کاهش خواهد یافت.

نتایج به صورت میانگین همراه با انحراف معیار ارائه شده است. برای مقایسه نتایج از آزمون آنواز یکطرفه (آزمون توکی) و یا آزمون t استفاده گردید. سطح معنی دار بودن $۰/۰۵$ در نظر گرفته شد.

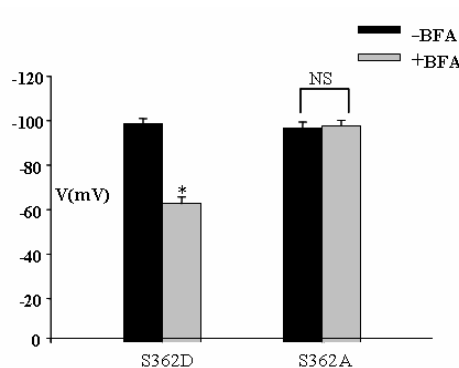
نتایج

براساس نتایج، انکوبه کردن اووسیت‌ها در محلول ۲۵ میکرو مولار برفلدین A میزان جریان یون پتانسیم از طریق کanal‌های ROMK2 را کاهش داد. رابطه جریان- ولتاژ پس از ۴۸ ساعت انکوبه شدن در دوز ۲۵ میکرومولار برفلدین A در شکل ۲ نشان داده شده است. برای ROMK2 میزان کسر جریان برابر با $۰/۱۶\pm ۰/۰۵$ (تعداد برابر ۱۸) بود (شکل ۳).

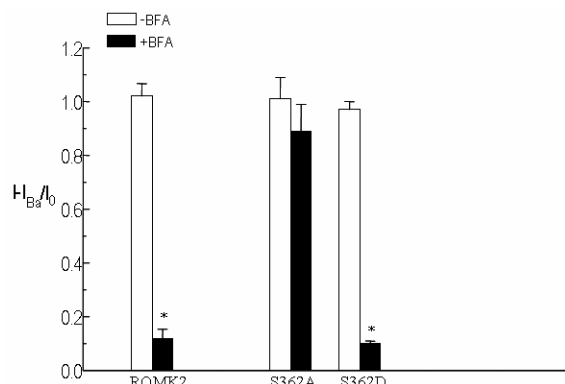
ثبت الکتروفیزیولوژیک جریان یون‌های پتانسیم از کanal 2 ROMK2 با موتاسیون S362A که در اووسیت‌ها بیان گردیدند، پس از انکوبه شدن در محلول ۲۵ میکرومولار برفلدین A در مدت زمان ۴۸ ساعت کاهش معنی داری را در میزان جریان یونی این کanal پتانسیمی موتاسیون یافته نشان نداد. نمودار جریان- ولتاژ از اووسیت‌های است که



شکل ۲. نمودارهای A, B, C، اثرات ۴۸ ساعت انکوبه شدن در محلول ۲۵ میکرومولار برفلدين A بر روی تعداد کانالهای پتانسیمی نوع ۲ قسمت خارجی مدولای کلیه طبیعی (ROMK2) (A) کانالهای موتاسیون یافته S362A (B) و S362D (C) را با توجه به کاهش میزان جریان نشان می‌دهد.



شکل ۴. پتانسیل استراحت اندازه گیری شده در اووسیت‌های که کانالهای پتانسیمی نوع ۲ قسمت خارجی مدولای کلیه (ROMK2) با موتاسیون‌های S362A و S362D را بیان کرده‌اند در حضور و غیاب برفلدين A را پس از مدت ۴۸ ساعت نشان می‌دهد (با تعداد برابر $p < 0.001$). * این نتایج افزایش پایداری و ثبات ROMK2 غشاء با ایجاد موتاسیون S362A را نشان می‌دهد، که با این عقیده توافق دارد که S-E-V در تعیین پایداری کانالهای پتانسیمی ROMK نقشی به عهده دارد.



شکل ۳. کسر جریان اندازه گیری شده در اووسیت‌های که کانالهای پتانسیمی نوع ۲ قسمت خارجی مدولای کلیه (ROMK2) و موتاسیون‌های S362D و S362A را بیان کرده‌اند در حضور و غیاب برفلدين A را پس از مدت ۴۸ ساعت نشان می‌دهد. (با تعداد برابر ۰.۲۴). * این نتایج افزایش پایداری و ثبات کانالهای پتانسیمی ROMK2 غشاء با ایجاد موتاسیون S362A را نشان می‌دهد

(Cystic Fibrosis Transmembrane conductance Regulator) CFTR، کانال‌های کلرايد و کانال‌های ROMK1 مورد استفاده قرار می‌گيرند.^(۸، ۱۶، ۱۷) مطالعات قبلی اثري از برفلدين A بر روی روند آندوسیتوز از طريق CCV در غشاهای پلاسمائي را نشان نداده‌اند.^(۱۸) در تحقيق حاضر تاثير مهاري ماده برفلدين A بر روی ترافيك اين پروتين‌ها را نشان مي‌دهد که با مطالعات قبلی بر روی کانال‌های ROMK1 مطابقت دارد.^(۸)

بسیاری از روندهای سلوولی به ارتباط و اثرات متقابل پروتئین بر سایر پروتئین‌ها وابسته است که توسط پروتئین‌های انجام می‌شود که در طول تکامل حفظ گردیده‌اند. بسیاری از اعمال مختلف سلوولی به خصوصیات ساختمانی و کاتالیتیک هر کدام از این پروتئین‌ها بستگی دارد. این پروتئین‌های آداتپوري به صورت مستقیم یا با واسطه سایر پروتئین‌ها که می‌توانند بخش‌های از قطعات پلی پپتیدی را تشخیص دهند و به آنها متصل گرددند بر روی این بر هم کش‌ها تاثير می‌گذارند.^(۱۹) پروتئین‌های ناحیه PDZ یکی از مهم‌ترین گروه آداتپورهای پروتئینی هستند که دارای حدود ۹۰ اسید آmine است که به صورت اختصاصی به قطعات کوتاه در پروتئین‌های کربوکسیل-انتهای متصل می‌شود. پروتئین‌های تعديل کننده ناحیه PDZ در نشانه‌گیری (Targeting) پروتئین‌های پیچیده نقش مهمی به عهده دارند. بسیاری از دنباله‌های سیتروپلاسمی پروتئین‌های عرض غشائي در نواحی تخصص يافته غشاء مانند کمپلکس‌های اتصال دهنده اپيتيلiali به يكديگر متصل می‌شوند.^(۲۰) در قطب بندی شدن پروتئین‌ها در غشا راسی یا قاعده اى سلوول‌های اپي تيلiali چندين ناحيه PDZ متصل شونده شرکت دارند که مجتمع‌های پروتئينی را به يكديگر متصل می‌کنند.^(۲۱) رابطه بين ساختمان و عملکرد پروتئین‌ها به اثرات متقابل اختصاصي بين آنها در درون سلوول‌ها بستگی دارد. برخى از اين بر هم کنش‌ها از طريق نواحى پروتئينی حفظ شده در طول تکامل با ناحيه تعديل کننده و اتصالى

بحث

در مطالعه حاضر موتابيسion S362A سبب عدم کاهش ميزان جريان يوني گردید که نشان دهنده عدم کاهش تعداد کانال‌های ROMK2 موتابيسion يافته در غشاء اووسیت می‌باشد. اين قسمت می‌تواند در آندوسیتوز شدن اين نوع از کانال دخالت داشته باشد. بر هم کنش‌های بين پروتئينی ممکن است چگونگي و نحوه بيان پروتئين‌های کانال‌های ROMK2 در كليه را تحت تاثير خود قرار دهد. کانال پتاسيمي با موتابيسion S362A حالت دفسفوريله شدن را ايجاد می‌كند. جريان‌های يوني ثبت شده از کانال‌های S362D و کانال‌های موتابيسion‌های يافته ROMK2 S362A و همچنين پتانسيل استراحت اندازه‌گيري شده غشاء اووسیت‌ها، افزایش پايداري و متوقف شدن آندوسیتوز کانال‌های پتاسيمي موتابيسion يافته S362A را نشان مي‌دهد(شکل ۲ و ۳ و ۴). بنابر اين توالى S-E-V باید در پايداري و آندوسیتوز کانال‌های ROMK2 نقش داشته باشد. در شرایط طبیعی اين جایگاه به صورت فسفوريله می‌باشد. موتابيسion S362A که حالت دفسفوريله را تعیيت می‌کند نسبت به آندوسیتوز مقاوم بود. بنابر اين می‌توان نتيجه گرفت که اين جایگاه از طريق فسفوريله شدن می‌تواند آندوسیتوز اين کانال‌ها را تنظيم نماید. اختلال در فسفوريله شدن کانال‌های ROMK2 در اين ناحيه سبب ايجاد مقاومت نسبت به آندوسیتوز شدن مي‌گردد. وضعیت فسفوريله یا دفسفوريله شدن کانال‌های ROMK2 تعداد کانال‌های پتاسيمي فعل در غشاء را تعیين می‌نماید.

مطالعات قبلی نشان داده‌اند که کانال ROMK در غشاء پلاسمائي اووسیت‌های زاينوبوس لويس و (Cortical Collecting Duct) CCD اووسیت‌های زاينوبوس لويس دارای ماشیني برای آندوسیتوز با واسطه وزیکول‌های پوشیده شده با کلاترین است. به اين دليل اووسیت‌ها برای مطالعه آندوسیتوز با واسطه وزیکول‌های پوشیده شده با کلاترین، بسیاری از کانال‌های یوني از جمله کانال‌های سدیمي اپيتيلiali

تعداد کانال‌های پس سیناپسی را کنترل نماید(۱۰، ۲۲). نتایج به دست آمده در مطالعه حاضر بر هم کنش‌های مشابهی را پیشنهاد می‌کند که ممکن است چگونگی و نحوه بیان پروتئین‌های کانال‌های ROMK2 در نفرون‌های کلیه را تحت تاثیر خود قرار دهد، که می‌تواند میزان ترشح پتاسیم و دفع پتاسیم از کلیه‌ها را تنظیم نماید. با توجه به این که فسفوریله شدن وابسته به کازین کیناز نوع ۲ CKII پایداری بعضی از پروتئین‌ها را تحت تاثیر قرار می‌دهد(۲۳)، این که آیا در این فسفوریلاسیون کازین کیناز نوع ۲ دخالت دارد به تحقیقات بیشتری نیاز دارد.

نتیجه گیری

نتایج این مطالعه نشان می‌دهد که کاهش پیش‌رونده در میزان جریان از کانال‌ها ROMK2 و موتابیون S362D دراثر برفلدین A ناشی از تاثیر بر روی باز شدن این کانال‌ها نیست بلکه نتیجه کاهش در تعداد کانال‌های فعال در غشاء پلاسمایی است. موتابیون S362A مقاومت پروتئین کانال‌های ROMK2 نسبت به آندوسیتوز را سبب می‌شود که با این عقیده توافق دارد که بین کربوکسیل انتهای کانال‌های ROMK2 و اجزاء مسیر آندوسیتوز تداخل عمل وجود دارد و یک ناحیه PDZ با عملکرد مناسب برای آندوسیتوز ضروری است. فسفوریله شدن اسید آمینه سرین در ناحیه PDZ از کانال‌های ROMK2 برای آندوسیتوز این کانال‌ها مهم و ضروری می‌باشد.

منابع

1. Bomsel M, Prydz K, Parton RG, Gruenberg J, Simons K. Endocytosis in filter-grown Madin-Darby canine kidney cells. *J Cell Biol* 1989; 109: 3243-3258.
2. Parton RG, Prydz K, Bomsel M, Simons K, Griffiths G. Meeting of the apical and basolateral endocytic pathways of the Madin-Darby canine kidney cell in late endosomes. *J Cell Biol* 1989; 109: 3259-3272.

PDZ انجام می‌شود. ناحیه PDZ در بیشتر پروتئین‌های اسکلت سلولی همانند (Post Synaptic Density PSD-95) ۹۵ که یک نوع از پروتئین متراکم پس سیناپسی است حضور دارد و نقش مهمی در عملکرداختمان‌های غشایی دارد. تعديل عملکرد کانال‌های ROMK توسط اسکلت سلولی ارتباط و اتصال بین این کانال‌ها و اسکلت سلولی را تایید می‌کند. موتابیون در کانال ROMK در موقعیت اسید آمینه T332 سبب تغییر چارچوب (Shift) و یک کدون متوقف کننده زودرس در نزدیک کربوکسیل- انتهای می‌شود که انتقال کانال به درون غشاء پلاسمایی را مهار می‌کند و سبب ایجاد سندرم بارتر (Bartter's Syndrome) می‌شود. شواهدی وجود دارد که پروتئین‌های ناحیه PDZ می‌توانند عمل لیگاند‌های خودشان را علاوه بر انجام وظیفه همانند یک داربست تنظیم نمایند. برای پروتئین‌های PDZ قابلیت اتصال به توالی‌های کربوکسیل- انتهای کوچک راه ساده‌ای است که با پروتئین‌های هدف بدون بر هم‌زدن ساختمان و عملکرد کلی لیگاند هایشان تداخل نمایند. این که نواحی PDZ چگونه این عمل را انجام می‌دهند نیاز به تحقیقات بیشتری دارد. عملکرد کانال‌های یونی می‌تواند توسط کنترل توزیع و پخش شدن کانال به درون نواحی تخصص یافته از غشاهای پلاسمایی و یا از طریق اسکلت سلولی تنظیم گردد. برای مثال کانال نوع $K_{ir}2.3$ از طریق نواحی کوچکی از کربوکسیل- انتهای به اسکلت سلولی متصل می‌شود. این کانال‌ها با پروتئین متصل شونده PSD-95 از PDZ بر هم کنش می‌کند و به این ترتیب به رشته‌های اکتین اسکلت سلولی متصل می‌شود. اسید آمینه سرین در ناحیه کربوکسیل- انتهای از کانال‌های $K_{ir}2.3$ برای این بر هم کنش مهم و ضروری می‌باشد(۲۲) به علاوه فسفوریله شدن این اسید آمینه توسط پروتئین کیناز (Ptotein Kinase A-PKA) این اثرات متقابل را تنظیم می‌کند. وقتی که سرین فسفوریله می‌شود $K_{ir}2.3$ به PSD-95 متصل نمی‌شود و در این پروتئین فسفوریله شدن می‌تواند تراکم و

3. Xu JZ, Hall AE, Peterson LN, Bienkowski MJ, Eessalu TE, Hebert SC. Localization of the ROMK protein on apical membranes of rat kidney nephron segments. *Am J Physiol* 1997; 273: F739-F748.
4. Moral Z, Dong K, Wei Y, Sterling H, Deng H, Ali S, Gu R, Huang XY, Hebert SC, Giebisch G, Wang WH. Regulation of ROMK1 channels by protein-tyrosine kinase and - tyrosine phosphatase. *J Biol Chem* 2001; 276: 7156-7163.
5. Wei Y, Bloom P, Gu R, Wang W. Protein-tyrosine phosphatase reduces the number of apical small conductance K⁺ channels in the rat cortical collecting duct. *J Biol Chem* 2000; 275: 20502-20507.
6. Zeng WZ, Babich V, Ortega B, Quigley R, White SJ, Welling PA, Huang CL. Evidence for endocytosis of ROMK potassium channel via clathrin-coated vesicles. *Am J Physiol Renal Physiol* 2002; 283: F630-F639.
7. Wang W, Lerea KM, Chan M, Giebisch G. Protein tyrosine kinase regulates the number of renal secretory K⁺ channels. *Am J Physiol Renal Physiol* 2000; 278: F165-F171.
8. Boim MA, Ho K, Shuck ME, Bienkowski MJ, Block JH, Slightom JL, Yang Y, Brenner BM, Hebert SC. ROMK inwardly rectifying ATP-sensitive K⁺ channel II. Cloning and distribution of alternative forms. *Am J Physiol* 1995; 268: F1132-F1140.
9. Hebert SC. An ATP-regulated, inwardly rectifying potassium channel from rat kidney (ROMK). *Kidney Int* 1995; 48: 1010-1016.
10. Conner SD, Schmid SL. Regulated portals of entry into the cell. *Nature* 2003; 422: 37-44.
11. Mellman I. Endocytosis and molecular sorting. *Annu Rev Cell Dev Biol* 1996; 12: 575-625.
12. Hajihashemi S. The S362A mutation blocks ROMK2 (Kir1.1b) endocytosis in Xenopus laevis oocyte membrane. *J of Physiology and Pharmacology* (In press)
13. Cooper GJ, Boron WF. Effect of PCMB on CO₂ permeability of Xenopus oocytes expressing aquaporin 1 or its C189S mutant. *Am J Physiol* 1998; 275: C1481-C1486.
14. Gurdon JB, Lane CD, Woodland HR, Marbaix G. Use of frog eggs and oocytes for the study of messenger RNA and its translation in living cells. *Nature* 1971; 233: 177-182.
15. Hajihashemi S, White SJ. [Effect of the V364D mutation in membrane endocytosis of ROMK2 (Kir1.1b)]. *Rahavard Danesh* 2007; 10(3): 25-35.
16. Bradbury NA, Clark JA, Watkins SC, Widnell CC, Smith HS, Bridges RJ. Characterization of the internalization pathways for the cystic fibrosis transmembrane conductance regulator. *Am J Physiol* 1999; 276(4 Pt 1): L659-L668.
17. Shimkets RA, Lifton RP, Canessa CM. The activity of the epithelial sodium channel is regulated by clathrin-mediated endocytosis. *J Biol Chem* 1997; 272(41): 25537-41.
18. Wood SA, Park JE, Brown WJ, Brefeldin A. Causes a microtubule-mediated fusion of the trans-Golgi network and early endosomes. *Cell* 1991; 67(3): 591-600.
19. Scott JD, Pawson T. Cell communication: the inside story. *Sci Am* 2000; 282: 72-79.
20. Radziwill G, Erdmann RA, Margelisch U, Moellering K. The Bcr kinase downregulates Ras signaling by phosphorylating AF-6 and binding to its PDZ domain. *Mol Cell Biol* 2003; 23: 4663-4672.
21. Bilder D, Schober M, Perrimon N. Integrated activity of PDZ protein complexes regulates epithelial polarity. *Nat Cell Biol* 2003; 5: 53-58.
22. Cohen NA, Brenman JE, Snyder SH, Bredt DS. Binding of the inward rectifier K⁺ channel Kir 2.3 to PSD-95 is regulated by protein kinase A phosphorylation. *Neuron* 1996; 17: 759-767.
23. Yin X, Jedrzejewski PT, Jiang JX. Casein kinase II phosphorylates lens connexin 45.6 and is involved in its degradation. *J of Biological Chemistry* 2000; 275: 6850-6.

The Effect of Phosphorylation and Dephosphorylation of the Serine Residue (S362) on ROMK2 ($K_{ir}1.1b$) Endocytosis

Hajihashemi S

Assistant Professor, PhD in Physiology, Physiology Department, Arak University of Medical Sciences, Arak, Iran.

Received 24 Jan, 2009 Accepted 15 Apr, 2009

Abstract

Background: In this study, the effects of S362A and S362D mutations on the membrane turnover and the stability of ROMK2 channel when expressing in *Xenopus laevis* oocytes were examined.

Methods and Materials: In this experimental study, oocytes were isolated by standard protocols using collagens (Type 1A). Mutations of the cytoplasmic termini of ROMK2 were constructed using the quick-change approach for site-directed mutagenesis. *Xenopus* oocytes were injected with cRNA encoding ROMK2 or S362A or S362D mutant three days prior to treatment with BFA solution (time 0). Brefeldin A (BFA) was added to the OR3 medium (+BFA) at concentrations of 25 μ M (inhibit insertion of new proteins into the cell membrane) or ethanol as BFA vehicle (-BFA). Two-electrode voltage clamp (TEVC) was used to measure oocyte ROMK-dependent currents and membrane potential.

Results: In oocytes expressing ROMK2 and/or the S362A mutant, there was significant reduce in current and membrane voltage of K. The fractional currents for ROMK2 and S362D mutant demonstrated a slight difference 48h following treatment of oocytes with BFA, 0.16 \pm 0.05(n=18) and 0.11 \pm 0.05(n=18) respectively. This was; however, significantly different from the fractional current of S362A mutant which stood at 0.96 \pm 0.05(n=24).

Conclusion: Mutant Serine residue S362A which causes phosphorylation in endocytosis and helps determine the number of ROMK2, plays an important part in PDZ domain.

Key words: Potassium Channel, ROMK2, S362A Mutant, S362D Mutant, BFA, PDZ domain, Phosphorylation.

Corresponding author;

Email: S.hajihashemi@gmail.com

Address: Physiology Department, Arak University of Medical Sciences, Arak, Iran.